

บทที่ 5

ผลการทดสอบและอภิปรายผล

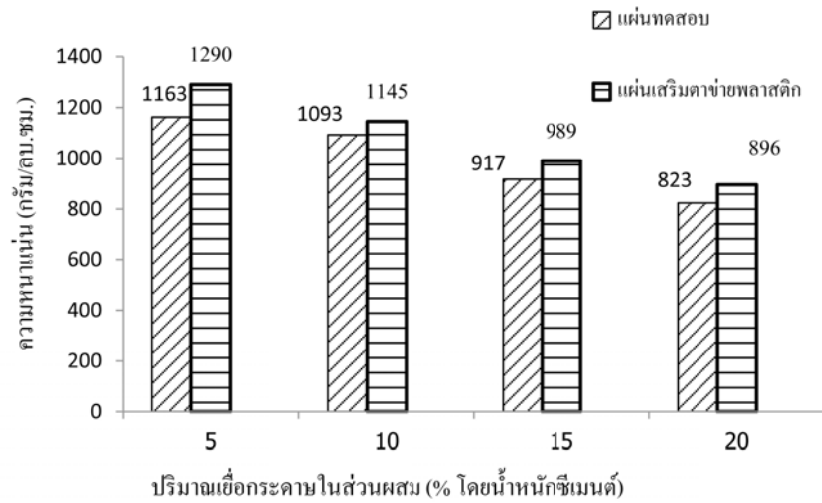
ผลจากการทดสอบทางกายภาพ ทางกล ของชิ้นตัวอย่างทั้งหมดแสดงดังตารางที่ 5.1
ตารางที่ 5.1 แสดงสมบัติของชิ้นทดสอบทั้งหมด

รหัสการ ทดสอบ (ปริมาณ เยื่อกระดาษ ต่อซีเมนต์)	ชนิดของแผ่นทดสอบ	ความ หนาแน่น(กก./ ลบ.ม.)	ความชื้น(ร้อยละ)	การดูดซึมน้ำ(ร้อยละ)	การพองตัว แม่ข่ายน้ำ (%)	แรงต้าน ภายใน (MPa)	MOR (MPa)	MOE (MPa)
S_05 (5%)	แผ่นทดสอบ	1162.54 ± 3.50	9.36 ± 0.00	20.26 ± 0.23	3.629 ± 0.000	0.54 ± 0.02	17.10 ± 0.03	2879.43 ± 44.07
	แผ่นเสริมตาข่ายพลาสติก	1290.34 ± 2.36	9.28 ± 0.02	19.42 ± 0.21	3.691 ± 0.033	0.85 ± 0.00	19.09 ± 0.00	3248.38 ± 18.48
S_10 (10%)	แผ่นทดสอบ	1092.53 ± 1.22	12.98 ± 0.01	25.99 ± 0.11	5.522 ± 0.000	0.37 ± 0.01	10.98 ± 0.35	2934.65 ± 23.07
	แผ่นเสริมตาข่ายพลาสติก	1144.63 ± 2.99	12.88 ± 0.06	23.32 ± 0.05	5.616 ± 0.012	0.53 ± 0.00	12.32 ± 0.32	3674.65 ± 40.43
S_15 (15%)	แผ่นทดสอบ	916.99 ± 0.77	13.88 ± 0.01	32.94 ± 0.80	7.454 ± 0.000	0.17 ± 0.01	5.18 ± 0.02	2967.85 ± 22.45
	แผ่นเสริมตาข่ายพลาสติก	989.19 ± 4.94	13.78 ± 0.03	28.68 ± 0.75	7.525 ± 0.017	0.31 ± 0.00	6.10 ± 0.03	3789.77 ± 3.36
S_20 (20%)	แผ่นทดสอบ	823.24 ± 1.07	14.67 ± 0.02	47.38 ± 0.34	9.297 ± 0.000	0.08 ± 0.01	1.35 ± 0.01	2947.01 ± 13.73
	แผ่นเสริมตาข่ายพลาสติก	896.43 ± 0.90	14.57 ± 0.04	44.68 ± 0.27	9.332 ± 0.009	0.10 ± 0.00	2.27 ± 0.02	3693.60 ± 297.65

5.1 ความหนาแน่นของชิ้นทดสอบ (Bulk Density)

ความหนาแน่นของชิ้นทดสอบแสดงดังภาพที่ 5.1 จะเห็นได้ว่าเมื่อปริมาณเยื่อกระดาษเพิ่มขึ้นส่งผลให้ค่าความหนาแน่นของวัสดุต่ำลง โดยปริมาณเยื่อกระดาษร้อยละ 20 ของน้ำหนักซีเมนต์ของชิ้นทดสอบมีค่าความหนาแน่นต่ำสุด ซึ่งสามารถอธิบายได้ว่าการเพิ่มปริมาณเยื่อกระดาษที่มีความหนาแน่นต่ำกว่าวัสดุ ซีเมนต์ ยิบซั่มและทราย ส่งผลให้ความหนาแน่นของชิ้นทดสอบต่ำลง

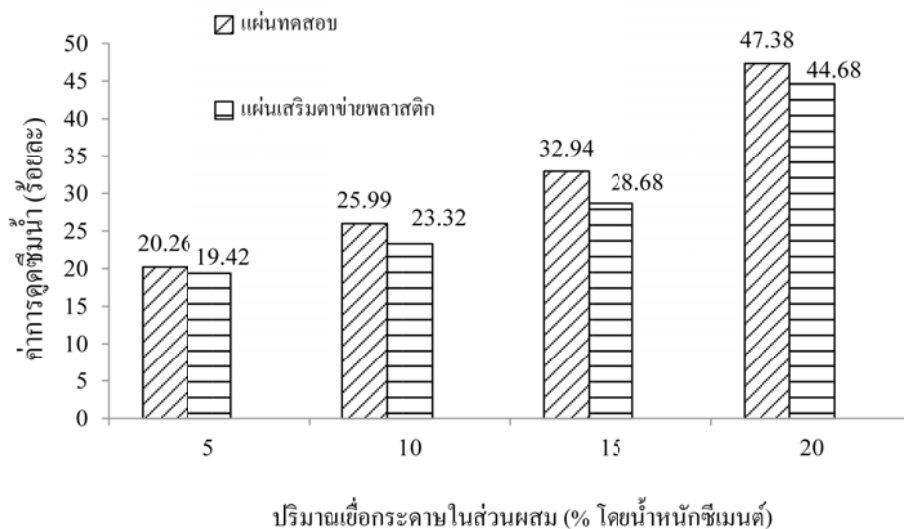
จากภาพที่ 5.1 แสดงให้เห็นว่าการเสริมตาข่ายพลาสติกในชิ้นทดสอบจะส่งผลให้ความหนาแน่นของชิ้นทดสอบมีความหนาแน่นเพิ่มขึ้น ซึ่งสามารถอธิบายได้ว่าแผ่นตาข่ายที่เป็นวัสดุเสริมมีความหนาแน่นมากกว่าเนื้อวัสดุที่ผสมจากซีเมนต์ ยิบซั่ม ทราย และเยื่อกระดาษ



ภาพที่ 5.1 ความหนาแน่นของชั้นทดสอบต่อปริมาณเชื้อกระดาษในส่วนผสม

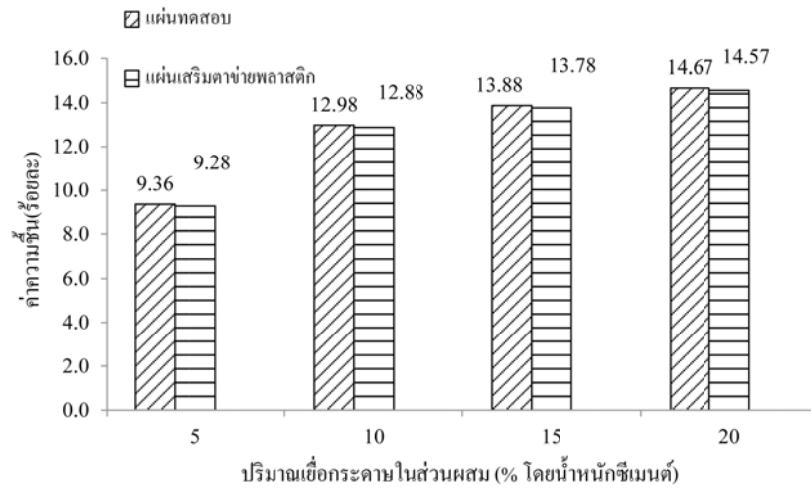
5.2 การดูดซึมน้ำ ค่าความชื้น และการพองตัวของเนื้อน้ำ (Water absorption, Moisture Content and Thickness Swelling)

ผลการศึกษาค่าการดูดซึมน้ำดังภาพที่ 5.2 ค่าความชื้นดังภาพที่ 5.3 และการพองตัวของเนื้อน้ำดังภาพที่ 5.4 แสดงให้เห็นว่าเมื่อปริมาณเชื้อกระดาษเพิ่มขึ้นจะทำให้มีค่าการดูดซึมน้ำ ค่าความชื้น และค่าการพองตัวมีค่าเพิ่มขึ้น เมื่อเปรียบเทียบระหว่างวัสดุที่ไม่เสริมการรับแรงและเสริมการรับแรงด้วยตาข่ายพลาสติกพบว่ามีการดูดซึมน้ำที่แตกต่างกันค่อนข้างมาก ค่าความชื้นและค่าการพองตัวของเนื้อน้ำมีค่าใกล้เคียงกัน

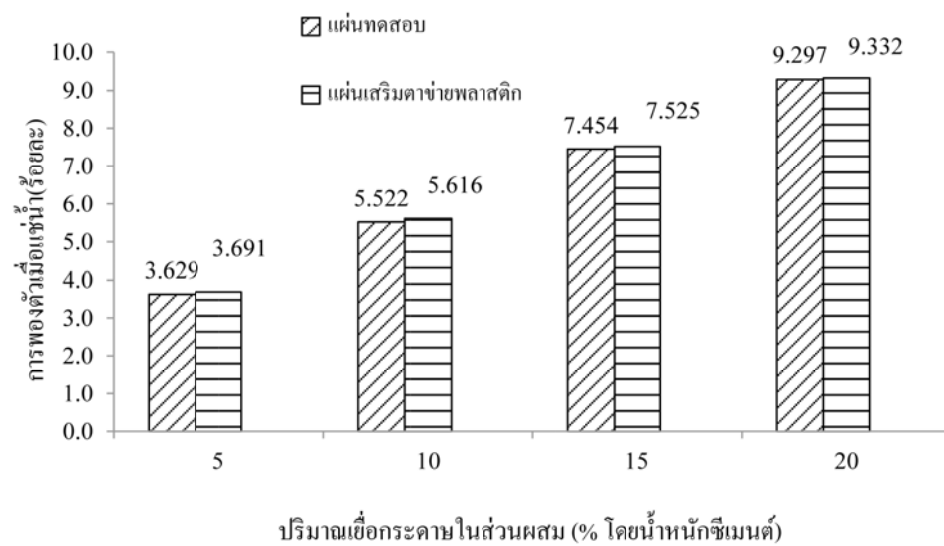


ภาพที่ 5.2 ค่าการดูดซึมน้ำของชั้นทดสอบต่อปริมาณเชื้อกระดาษในส่วนผสม

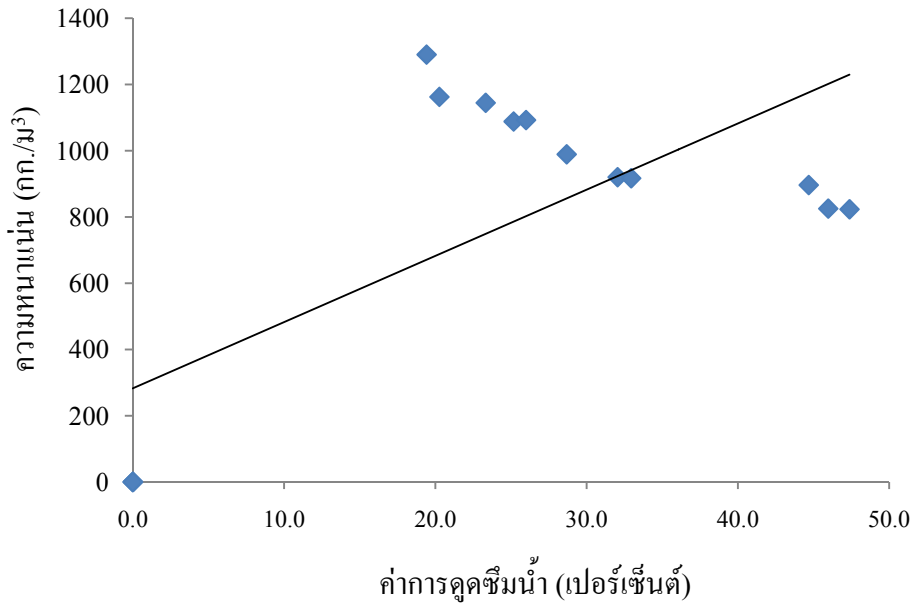
สามารถอธิบายได้ว่า แม้ว่าแผ่นทดสอบจะมีขนาดเท่ากัน เมื่อเพิ่มปริมาณเชื้อกระดาษในส่วนผสมจะส่งผลเชื้อกระดาษมีการดูดซึมน้ำได้มากขึ้น เชื้อกระดาษสามารถดูดความชื้นได้มากขึ้น และมีการขยายตัวจึงเกิดการผลักดันกันของวัสดุจึงส่งผลให้มีค่าการพองตัวสูง ดังผลการทดสอบของ สโรชา,2542



ภาพที่ 5.3 ค่าความชื้นของชิ้นทดสอบต่อปริมาณเชื้อกระดาษในส่วนผสม



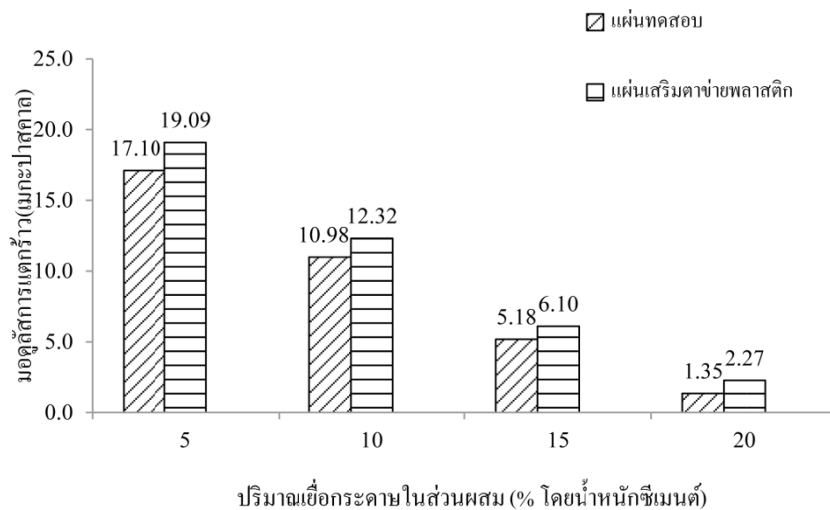
ภาพที่ 5.4 ค่าการพองตัวของชิ้นทดสอบต่อปริมาณเชื้อกระดาษในส่วนผสม



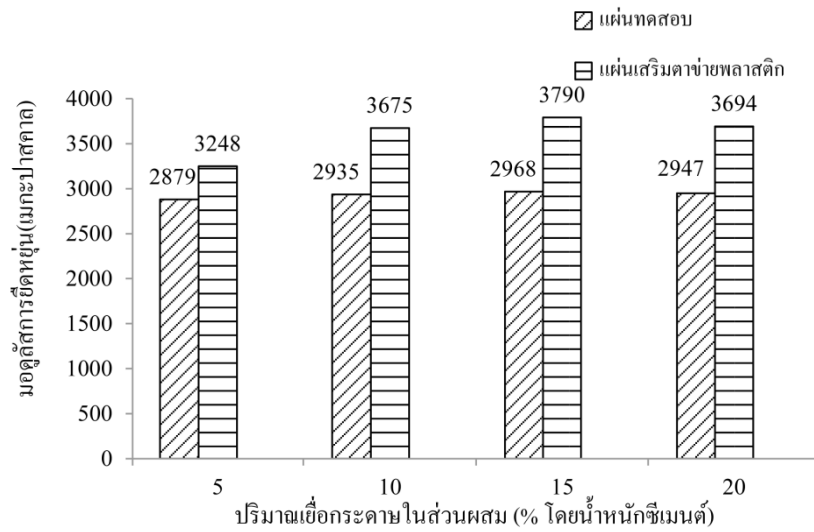
ภาพที่ 5.5 ค่าความหนาแน่นและค่าการดูดซึมน้ำชิ้นทดสอบ

5.3.ค่ามอดูลัสการแตกร้าวและค่ามอดูลัสการยืดหยุ่น (Modulus of Rupture (MOR) and Modulus of Elasticity(MOE))

ภาพที่ 5.6 แสดงค่ามอดูลัสการแตกร้าวของชิ้นทดสอบต่อปริมาณเชื้อกระดาษในส่วนผสม พบว่า เมื่อปริมาณเชื้อกระดาษเพิ่มขึ้นส่งผลให้ค่ามอดูลัสการแตกร้าวและค่าต่ำลง ส่วนชิ้นทดสอบที่มีการเสริมแรงด้วยตาข่ายพลาสติกจะมีค่ามอดูลัสการแตกร้าวสูงกว่าชิ้นทดสอบที่ไม่มีวัสดุเสริม

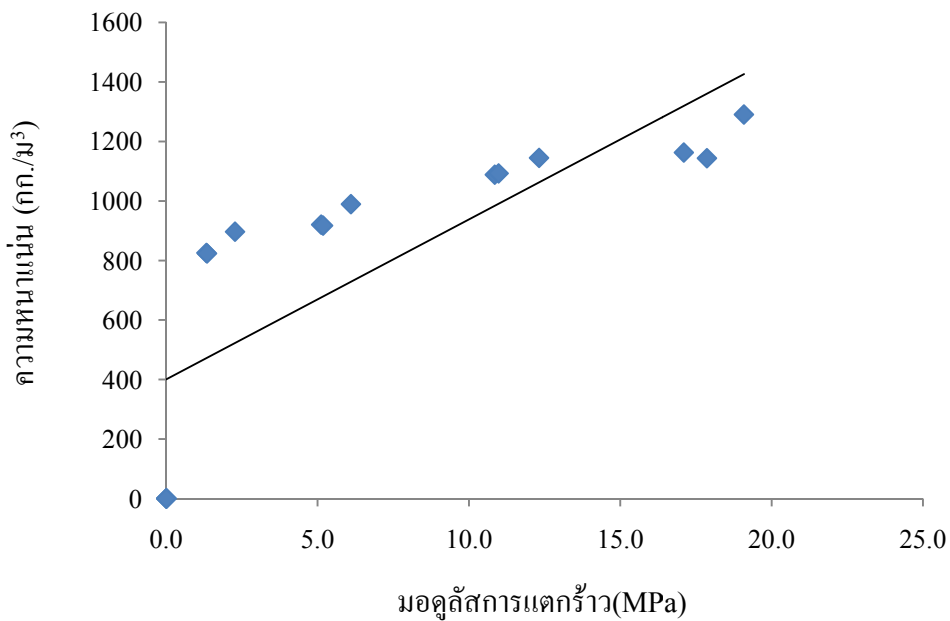


ภาพที่ 5.6 ค่ามอดูลัสการแตกร้าวต่อปริมาณเชื้อกระดาษในส่วนผสม



ภาพที่ 5.7 ค่ามอดูลัสการยึดหยุ่นต่อปริมาณเอกรวดในส่วนผสม

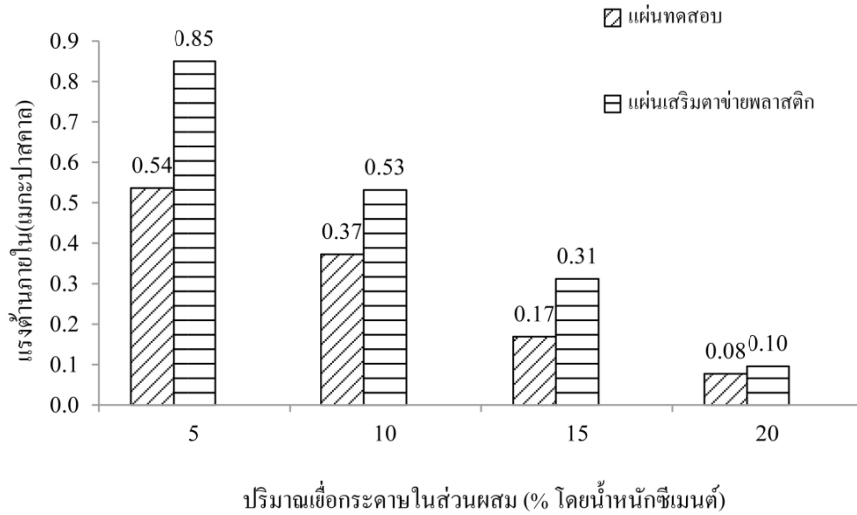
ภาพที่ 5.7 แสดงค่ามอดูลัสการยึดหยุ่นของหินทดสอบพบว่า เมื่อปริมาณเอกรวดเพิ่มขึ้น ค่ามอดูลัสการยึดหยุ่นเพิ่มสูงขึ้นเล็กน้อย เมื่อเปรียบเทียบระหว่างหินทดสอบที่มีการเสริมการรับแรงด้วยตาข่ายพลาสติกกับหินทดสอบที่ไม่เสริมการรับแรงพบว่าหินทดสอบที่เสริมตาข่ายพลาสติกสามารถรับแรงได้เพิ่มขึ้น



ภาพที่ 5.8 ค่าความหนาแน่นและค่ามอดูลัสการแตกร้าวของหินทดสอบ

5.4 ค่าแรงต้านภายใน (Internal Bond)

ภาพที่ 5.9 แสดงค่าแรงต้านภายในต่อปริมาณเชื้อกระดาษในส่วนผสม พบว่า เมื่อปริมาณเชื้อกระดาษในส่วนผสมมีปริมาณเพิ่มขึ้นทำให้ค่าแรงต้านภายในต่ำลง อาจเนื่องมาจากเชื้อกระดาษมีปริมาณมากทำให้การยึดติดของวัสดุมีน้อย เมื่อพิจารณาควบคู่กับความหนาแน่น



ภาพที่ 5.9 ค่าแรงต้านภายในต่อปริมาณเชื้อกระดาษในส่วนผสม

ตารางที่ 5.2 แสดงการเปรียบเทียบสมบัติของวัสดุต่างๆ

สมบัติ	แผ่นไม้อัด	แผ่นไม้อัดซีเมนต์	แผ่นวัสดุทดสอบ*
ความหนาแน่น (กก./ซม ³)	600-900	1300	1144
การดูดซึมน้ำ (%)	85	15	23
ความชื้น (%)	20	8	13
การพองตัว (%)	≤ 12	2	5.6
มอดูลัสการแตกร้าว (MPa)	≥ 18	24	12.32
มอดูลัสการยืดหยุ่น (MPa)	≥ 5000	4500	3674
ค่าแรงต้านภายใน (MPa)	0.30	0.65	0.53

* หมายเหตุ: แผ่นวัสดุทดสอบที่อัตราส่วน 1:0.25:0.25:0.10 (ซีเมนต์:ยิบซั่ม:ทราย:เชื้อกระดาษ)

5.5. การเปรียบเทียบแผ่นขึ้นทดสอบกับแผ่นไม้สังเคราะห์

เมื่อเปรียบเทียบสมบัติของวัสดุแผ่นทดสอบกับแผ่นไม้อัดและไม้สังเคราะห์ที่จัดจำหน่ายทั่วไป พบว่าแผ่นวัสดุทดสอบมีสมบัติทางกล ใกล้เคียงกับแผ่นไม้อัด และไม้สังเคราะห์ แต่มีจุดเด่นกว่าไม้อัดทั่วไปคือมีค่าการดูดซึมน้ำและการพองตัวที่ต่ำกว่าไม้อัด

5.6 การพิจารณาลักษณะของวัสดุ การผลิตและประกอบ ตกแต่ง

ลักษณะทางสมรรถนะด้วยภาพรวมเมื่อทำการเปรียบเทียบกับวัสดุไม้จริงที่มีความหนาแน่นอยู่ในช่วง 800-950 กิโลกรัมต่อตารางเมตรพบว่า วัสดุนี้มีความหนาแน่นมากกว่า ส่งผลให้น้ำหนักของวัสดุมากกว่าเมื่อมีปริมาตรที่เท่ากัน ส่วนสมรรถนะในการรับแรงทางกลพบว่าวัสดุที่พัฒนานี้มีความแข็งแรงน้อย และเปราะกว่าไม้จริง

ลักษณะทางการกายภาพ สี ผิว พบว่าเนื้อวัสดุนี้มีสีเทาอ่อนจากสีของปูนซีเมนต์และหมึกที่ปนอยู่ในเนื้อกระดาษ ผิวมีลักษณะขรุขระมีรูพรุนขนาดเล็กๆ จำนวนมาก ที่เกิดจากการประสานกันระหว่างเนื้อกระดาษกับวัสดุประสานและวัสดุผสม การเรียงตัวของเนื้อกระดาษสลับกันไปมาอย่างอิสระจึงเห็นอีกสาเหตุหนึ่งที่ทำให้มีลักษณะผิวไม่เรียบ



ภาพที่ 5.10 แสดงลักษณะผิวของชิ้นทดสอบ



ไม้อัดลายไม้ ไม้อัดลายไม้ วัสดุที่พัฒนาใหม่ วัสดุที่พัฒนาใหม่
ติดผิวลายไม้ ทาสีผิวลายไม้

ภาพที่ 5.11 แสดงลักษณะสีผิวไม้อัดและวัสดุที่พัฒนาใหม่

การตกแต่งฉาบผิวของวัสดุสามารถทำได้ด้วยการฉาบผิว ขัด ทาสีรองพื้น และทาสีจริงได้ตามความต้องการ หรืออาจใช้วัสดุแต่งผิวประเภทอื่นประดับเช่น กระจกเบื้องเซรามิก กรวด เป็นต้น

การทำสีและประดับตกแต่ง พบว่าก่อนทาสีควรมีการทำน้ำผสมกาวลาเท็กซ์ในอัตราส่วน 1:0.5 ตามลำดับ โดยทาที่ผิวแล้วตากให้แห้งก่อนทาสีหรือเคลือบผิว จะทำช่วยให้มีการยึดเกาะได้ดีขึ้น และไม่สิ้นเปลืองปริมาณสีหรือวัสดุเคลือบผิวด้วย ผิวสามารถทาสีตกแต่งเหมือนลายไม้ได้ หรือทากาวติดแผ่นวีเนียร์ลายไม้ได้เช่นกัน

ลักษณะการผลิตและประกอบ ซึ่งได้ทำการทดสอบผลิตเฟอร์นิเจอร์ 2 รูปแบบคือ แบบที่หนึ่งหล่อขึ้นรูปเป็นแผ่น เพื่อนำไปประกอบเป็นโต๊ะขนาดเล็ก และชั้นวางของดังรูปที่ 5.12 แบบที่สองหล่อขึ้นรูปเป็นเก้าอี้สำหรับเด็กและวัสดุตกแต่งผนังดังภาพที่ 5.13 พบว่า การหล่อขึ้นรูปทรงได้ดีทั้งสองแบบโดยใช้อัตราส่วนที่มีเยื่อกระดาษเป็นส่วนผสมร้อยละ 10 เสริมด้วยตาข่ายพลาสติกรับแรงการหล่อขึ้นรูปทรงที่มีเหลี่ยมมุมควรเพิ่มน้ำให้ส่วนผสมค่อยข้างเหลวและควรกระทุ้งให้เนื้อวัสดุกระจายทั่วแบบพิมพ์ การหล่อเก้าอี้สำหรับเด็กต้นแบบนี้ ใช้ถังขยะเป็นแบบพิมพ์การหล่อขึ้นรูป เนื่องจากถังขยะนี้มีรูปทรงที่สวยงามและต้องการประหยัดค่าทำแบบแม่พิมพ์ มีการเสริมแกนกลางด้วยขวดน้ำพลาสติกเพื่อช่วยลดปริมาณวัสดุ ช่วยลดน้ำหนัก และช่วยเพิ่มการรับแรงด้วย ดังภาพที่ 5.14 เมื่อทำการทดสอบการต้านทานแรงอัดพบว่า สามารถรับน้ำหนักได้ประมาณ 192 กิโลกรัม



ภาพที่ 5.12 โต๊ะ ชั้นวางของจากแผ่นวัสดุ



ภาพที่ 5.13 เก้าอี้ วัสดุตกแต่งผนังจากการหล่อขึ้นรูป



แกนเสริมขวด



หล่อขึ้นรูป



ตกแต่ง

ภาพที่ 5.14 แสดงการหล่อขึ้นรูปเก้าอี้นั่งขนาดเล็ก

เมื่อทดสอบการตัด ขัด เจาะ ยึด วัสดุแผ่น พบว่า สามารถปฏิบัติงานได้ดีเทียบเท่ากับลักษณะของการทำงานเช่นเดียวกับไม้เนื้ออ่อน หากต้องการยึดด้วยตะปูเกี่ยวควรมีการเพิ่มการยึดเกาะด้วยกาวลาเท็กซ์ทุกจุด



การเลื่อย



การเจาะ



การยึด

ภาพที่ 5.15 แสดงการเลื่อย การเจาะ การยึด



ภาพที่ 5.16 แสดงเฟอร์นิเจอร์และวัสดุตกแต่งทั้งหมด

จากการทดสอบผลิตเป็นเฟอร์นิเจอร์จากวัสดุนี้ จะเห็นได้ว่านักออกแบบสามารถสร้างสรรค์รูปทรงต่างๆ ได้ตามจินตนาการที่หลากหลาย เพื่อเป็นทางเลือกใหม่ของการผลิตเฟอร์นิเจอร์และวัสดุตกแต่งในเชิงพาณิชย์ต่อไป